

## Fehraltorf: Rollerfahrer bei Selbstunfall schwer verletzt

Bei einem Selbstunfall ist am Freitagabend (22.5.2026) ein Rollerfahrer schwer verletzt worden. Ein Rettungshelikopter flog ihn in ein Spital.



Unfallsituation an der Russikerstrasse. Quelle: Kantonspolizei Zürich [Bild «ein verunfallter Roller liegt auf der Strasse» herunterladen](#)

Etwa um 19.30 Uhr fuhr ein 44-jähriger Mann mit einem 125er-Roller auf der Russikerstrasse Richtung Fehraltorf. In einer leichten Linkskurve geriet er aus ungeklärten Gründen rechts über den Fahrbahnrand hinaus, touchierte eine Mauer und stürzte. Eine Patrouille der Kommunalpolizei Region Pfäffikon leistete dem Mann erste Hilfe bis zum Eintreffen eines Rettungswagens des Spitals Uster und eines Notarztes des

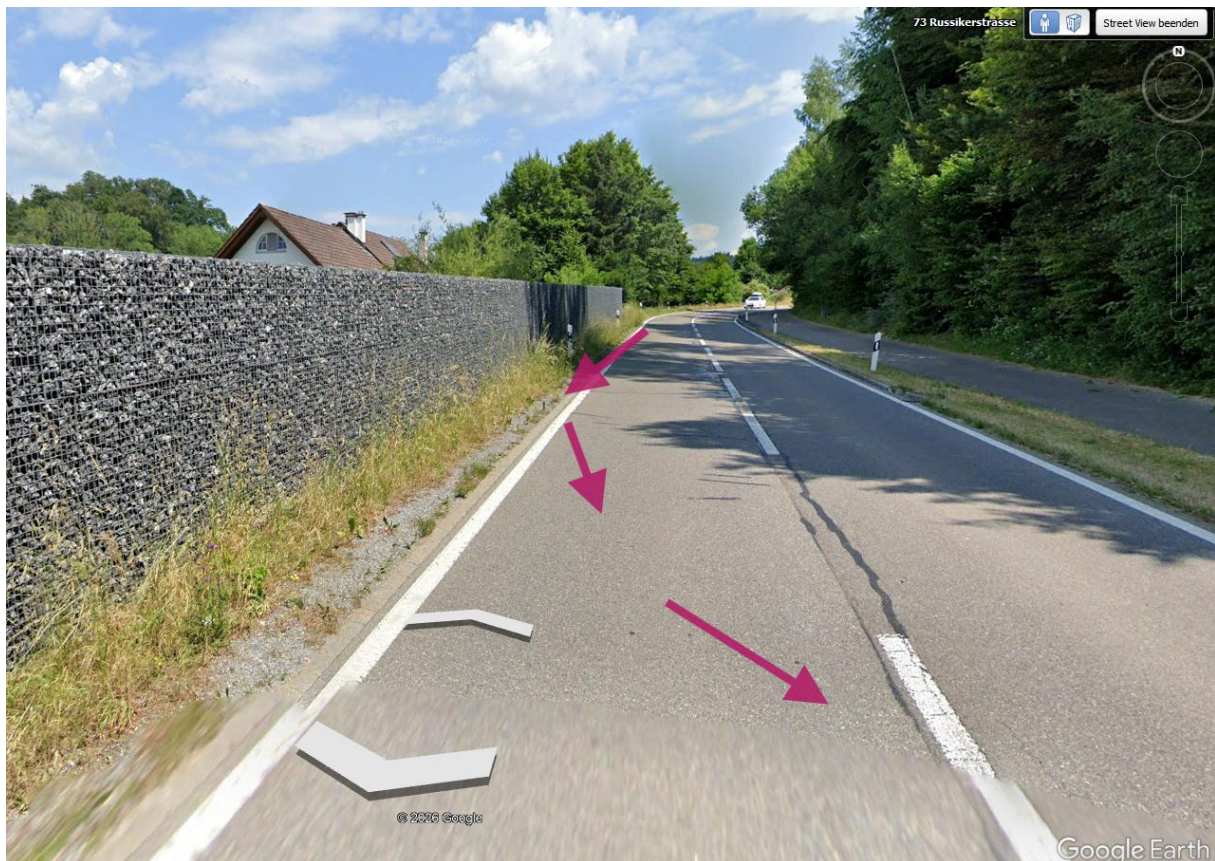
Kantonsspitals Winterthur. Ein Rettungshelikopter der Rega transportierte den Rollerfahrer mit schweren Verletzungen in ein Spital.

Die genaue Unfallursache ist noch unbekannt und wird durch die Kantonspolizei Zürich in Zusammenarbeit mit der Staatsanwaltschaft Winterthur/Unterland untersucht. Unfallspezialisten der Kantonspolizei sicherten die Spuren und vermessen die Unfallstelle mit einem Laserscanner. Wegen des Unfalls musste die Russikerstrasse bis etwa 22.30 Uhr gesperrt werden. Die Verkehrsgruppe der Feuerwehr Fehraltorf regelte den Verkehr und richtete eine Umleitung ein.

[https://www.zh.ch/de/news-uebersicht/medienmitteilungen/2026/05/260522r\\_fehraltorf\\_vukoe.html](https://www.zh.ch/de/news-uebersicht/medienmitteilungen/2026/05/260522r_fehraltorf_vukoe.html)

## Elektrosmog im Unfallablauf

Die Ausgangslage weist auf einen Schwächeanfall beim Befahren dieser Kurve hin:



Der involvierte Sender steht beim Gugguhof, ist nicht in den Leistungstabellen 2023 des BAKOM enthalten, somit erst nach 2024 auf 5G adaptiv aufgerüstet worden:



Mindestens der oberste Sender strahlt hier immer noch über Kuppe ein:







Die Distanz seit **letzter** optisch nachzuweisender Exposition ist 100 m, für diese braucht er bei einer Geschwindigkeit von 80 km/h um 5 Sekunden:

azione Svizzera  
aziun svizra

Russikerstrasse 77 8320 Fehrlortorf

menarbeit mit den Kantonen

Menü öffnen

Information

Personenschaden 1

oder Selbstunfall

Ursache

- Schleuder- oder Selbstunfall
- Unfall mit Leichtverletzten
- 2021
- Mai
- Dienstag
- 09h-10h
- Hauptstrasse
- ZH
- 0172
- Nein

Jung

Beteiligung

Nein

Teilbeteiligung

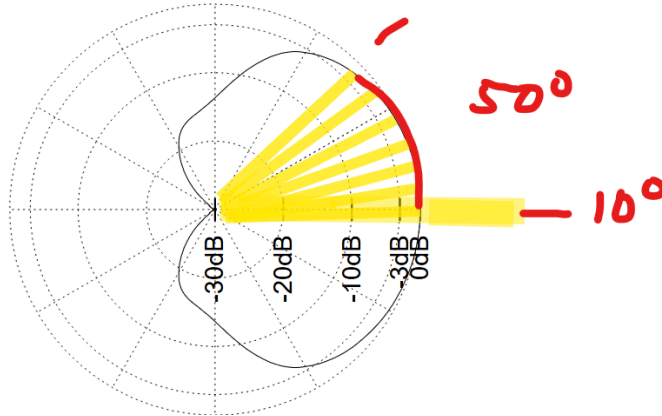
Nein

[Link zum Objekt](#)

Der Sender Sunrise, zuoberst und immer sichtbar, strahlt in SR 10°, somit in der hier festgestellten Richtung ca. 320° noch mit einem sehr schwachen Verlust von 1 dB.

HybridAIR3268.36.ENV01.msi  
 FREQUENCY 3600  
 created by: taanuer4, date: 2022.03.30, envelope of antennas: Hybrid

Diagramm von vergleichbarer 5G-Antenne Huawei:



**Zusatzblatt 1: Angaben zur Antennengruppe 1 von 1**

Beschreibung der Antennengruppe: ZH428-2  
 Anzahl Masten: 3

Nr. der Antenne	A_SRLW	B_SRLW	C_SRLW	A_SRHG	B_SRHG	C_SRHG	A_SR36	B_SR36	C_SR36
Netzbetreiber	Sunrise	Sunrise	Sunrise	Sunrise	Sunrise	Sunrise	Sunrise	Sunrise	Sunrise
ERP: Sendeleistung (in W)	400	300	400	1200	1000	1300	400	400	400
Hauptstrahlrichtung: Azimut (in Grad von N)	10	100	230	10	100	230	10	100	230

Sunrise

Nr. der Antenne	1SC0709	2SC0709	3SC0709	1SC1426	2SC1426	3SC1426	1SC3636	2SC3636	3SC3636
Netzbetreiber	Swisscom	Swisscom	Swisscom	Swisscom	Swisscom	Swisscom	Swisscom	Swisscom	Swisscom
ERP: Sendeleistung (in W)	650	400	800	1500	1075	1700	400	400	400
Hauptstrahlrichtung: Azimut (in Grad von N)	20	100	210	20	100	210	20	100	210

Swisscom

**ERP<sub>90</sub>: kumulierte Sendeleistung in diesen Sektor**

Höchstbelasteter 90°-Sektor: Azimut (in Grad von N)	10° - 100°
In einen Sektor kumulierte Sendeleistung	8125
F: Frequenzfaktor	2.10

Laufnummer n	1	2	3	4	5	6	7	8	9
Nr. der Antenne	A_SRLW	B_SRLW	C_SRLW	A_SRHG	B_SRHG	C_SRHG	A_SR36	B_SR36	C_SR36
Frequenzband (in MHz)	700-900	700-900	700-900	1400-2600	1400-2600	1400-2600	3600	3600	3600
Netzbetreiber	Sunrise	Sunrise	Sunrise	Sunrise	Sunrise	Sunrise	Sunrise	Sunrise	Sunrise
Typenbezeichnung der Antenne	AAU5831	AAU5831	AAU5831	AAU5831	AAU5831	AAU5831	AAU5831	AAU5831	AAU5831
Adaptiver Betrieb mit K <sup>AA</sup> < 1	nein	nein	nein	nein	nein	nein	ja	ja	ja
Anzahl Sub-Arrays	-	-	-	-	-	-	16	16	16
Koordinaten (X/Y)	0.20/0.60	0.60/-0.10	-0.60/0.20	0.20/0.60	0.60/-0.10	-0.60/0.20	0.20/0.60	0.60/-0.10	-0.60/0.20
Höhe der Antenne über Höhenkote 0 (in m)	28.00	28.00	28.00	28.00	28.00	28.00	28.00	28.00	28.00
ERP <sub>n</sub> : Sendeleistung (in W)	400	300	400	1200	1000	1300	400	400	400

**Hauptstrahlrichtung**

Azimut (in Grad von N)	10°	100°	230°	10°	100°	230°	10°	100°	230°
Mechanischer Neigungswinkel (down tilt, in Grad von der Horizontalen)	0°	0°	0°	0°	0°	0°	0°	0°	0°
Elektrischer Neigungswinkel (down tilt, in Grad)	-2 - -10	-2 - -10	-2 - -12	-2 - -9	-2 - -9	-2 - -12	-2 - -9	-2 - -9	-2 - -9
Gesamter Neigungswinkel (down tilt, in Grad von der Horizontalen)	-2 - -10	-2 - -10	-2 - -12	-2 - -9	-2 - -9	-2 - -12	-2 - -9	-2 - -9	-2 - -9

Swisscom hat aus ungünstigerer Lage am Mast gegenüber Sunrise deutlich höhere Leistungen im UMTS und LTE-Bereich.

Laufnummer n	10	11	12	13	14	15	16	17	18
Nr. der Antenne	1SC0709	2SC0709	3SC0709	1SC1426	2SC1426	3SC1426	1SC3636	2SC3636	3SC3636
Frequenzband (in MHz)	700-900	700-900	700-900	1400-2600	1400-2600	1400-2600	3600	3600	3600
Netzbetreiber	Swisscom	Swisscom	Swisscom	Swisscom	Swisscom	Swisscom	Swisscom	Swisscom	Swisscom
Typenbezeichnung der Antenne	6313.07080 9 ADI01	6313.07080 9 ADI01	6313.07080 9 ADI01	6313.14182 126 ADI01	6313.14182 126 ADI01	6313.14182 126 ADI01	6313.36 ENV001	6313.36 ENV001	6313.36 ENV001
Adaptiver Betrieb mit K <sub>AA</sub> < 1	nein	nein	nein	nein	nein	nein	ja	ja	ja
Anzahl Sub-Arrays	-	-	-	-	-	-	16	16	16
Koordinaten (X/Y)	0.20/0.60	0.60/-0.10	-0.60/0.20	0.20/0.60	0.60/-0.10	-0.60/0.20	0.20/0.60	0.60/-0.10	-0.60/0.20
Höhe der Antenne über Höhenkote 0 (in m)	25.20	25.20	25.20	25.20	25.20	25.20	25.20	25.20	25.20
ERP <sub>n</sub> : Sendeleistung (in W)	650	400	800	1500	1075	1700	400	400	400

#### Hauptstrahlrichtung

Azimet (in Grad von N)	20°	100°	210°	20°	100°	210°	20°	100°	210°
Mechanischer Neigungswinkel (down tilt, in Grad von der Horizontalen)	0°	0°	-2°	0°	0°	-2°	0°	0°	-2°
Elektrischer Neigungswinkel (down tilt, in Grad)	-2 - -10	-2 - -10	-2 - -12	-2 - -7	-2 - -6	-2 - -12	0°	0°	0°
Gesamter Neigungswinkel (down tilt, in Grad von der Horizontalen)	-2 - -10	-2 - -10	-4 - -14	-2 - -7	-2 - -6	-4 - -14	0°	0°	-2°

Relevant für die Ermittlung des Finsrachenparameters sind die Antennen im Sektor von 10° bis 100°

Gesicherter Einfluss **bis ca. 200m vor Unfallstelle, gemeinsam mit Sunrise.**

Reaktions- und Verlaufsduer seit dort ca. **10...12 Sekunden.**

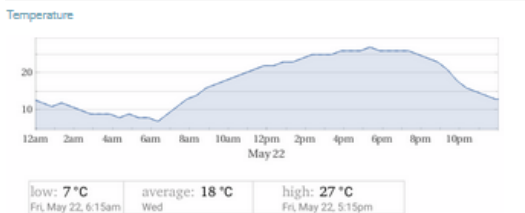
weather Russikon, Switzerland

Friday, May 22, 2026

Recorded weather for Russikon, Switzerland: [Enlarge](#) [Data](#)

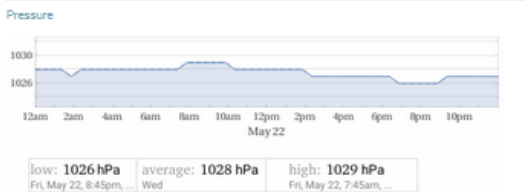
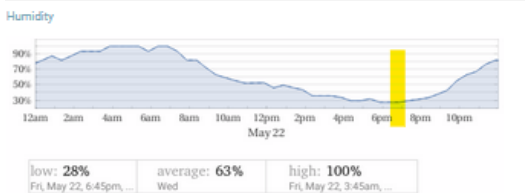
time range	day of Friday, May 22, 2026
temperature	(7 to 27) °C (average: 18 °C)
relative humidity	(28 to 100) % (average: 63%)
wind speed	(0 to 3) m/s (average: 1 m/s)

Weather history: Day ▾



Precipitation rate

(none)



**Wetter im Unfallzeitpunkt sehr trocken mit etwas über 30 % Luftfeuchtigkeit -**

**Strahlung ungedämpft.**

**Ein medizinisches Problem – möglicherweise beginnend am Ort der doppelten Exposition am Dorfausgang - ist sehr wahrscheinlich.**

## Zum Verständnis der Abläufe bei solchen Unfällen:

Niels Kuster et al. **NFP 57**: [http://www.snf.ch/SiteCollectionDocuments/nfp/nfp57/nfp57\\_synthese\\_d.pdf](http://www.snf.ch/SiteCollectionDocuments/nfp/nfp57/nfp57_synthese_d.pdf)  
[Mobilfunk bewirkt Veränderungen der Hirnströme](#)

Einwirkungen von Strahlung auf Prozesse im Gehirn: <https://www.diagnose-funk.org/aktuelles/artikel-archiv/detail?newsid=2257>

Ahonen, Koppel, Carlbert et al. Very high radiofrequency radiation at Skeppsbron (...), from mobile phone base station antennas positioned close to pedestrians' heads <https://pubmed.ncbi.nlm.nih.gov/34995546/>

M. Mevissen / D. Schürmann: Manmade Electromagnetic Fields and Oxidative Stress—Biological Effects and Consequences for Health. <https://www.mdpi.com/1422-0067/22/7/3772>

«Der unklare Unfall in der Verkehrsmedizin» (AGU-Seminar 2015) Dr. Ulfert Grimm Fachbereich Verkehrsmedizin Institut für Rechtsmedizin St.Gallen <http://aqu.ch/1.0/pdf/aqu-seminar15.pdf>

«Wirkungen des Mobil- und Kommunikationsfunks» Eine Schriftenreihe der Kompetenzinitiative zum Schutz von Mensch, Umwelt und Demokratie e.V.

<https://www.diagnose-funk.org/publikationen/dokumente-downloads/kompetenzinitiative-broschuerenreihe>

Wirkungen von Elektromog auf Verkehrsunfälle: <https://www.hansuelistettler.ch/elektromog/elektromog-im-verkehr/studie>

Keine Messung von Sendeleistungen 5G: <https://www.gigahertz.ch/5g-alarmierende-resultate-erster-testmessungen/>

Funktionsweise von 5G-Antennen: "Understanding Massive MIMO in roughly 2 minutes": <https://www.youtube.com/watch?v=XBb481RNqGw>

Visualisierung der 5G-spezifischen Reflexionen, von Ericsson: <https://www.youtube.com/watch?v=yTbUSXJ8M-8>

5G-Adaptiv reagiert auf Kollektiv-Verkehrsmittel: [https://www.youtube.com/watch?v=pTKa\\_cEGvJA](https://www.youtube.com/watch?v=pTKa_cEGvJA)  
Bellinzona: <https://www.youtube.com/watch?v=ekCtC7vJ7Ew>

Zum Thema Herzrhythmus hat Prof. Magda Havas, Trent University, publiziert:  
<https://magdahavas.com/electromog-exposure/home-environment/new-study-radiation-from-cordless-phone-base-station-affects-the-heart/> Zusammenfassung im emf-portal: <https://www.emf-portal.org/de/article/18905>

Forschungsstand zu wlan: <https://www.diagnose-funk.org/aktuelles/artikel-archiv/detail&newsid=1943>

Magnetfelder unter Hochspannungsleitungen: <https://www.bfs.de/SharedDocs/Videos/BFS/DE/emf-stromleitung.html>

Erklärende Videos auf youtube: <https://www.youtube.com/channel/UC86uloS8IoowSGOGfpMyrsq>

Hansueli Stettler.Bauökologie.Funkmesstechnik.Lindenstrasse 132.9016 St.Gallen.[www.hansuelistettler.ch](http://www.hansuelistettler.ch).[info@hansuelistettler.ch](mailto:info@hansuelistettler.ch)